

Авторы выражают глубокую благодарность акад. А. М. Балдину за предоставленную возможность проведения калибровки детектора зарядов на ускорителе ЛВЭ ОИЯИ.

СПИСОК ЛИТЕРАТУРЫ

- [1] Vernov S. N. et al.//Proc. 17th Intern. Cosmic Ray Conf. 1981. V. 8. P. 49—52. [2] Vernov S. N. et al.//Proc. 19th Intern. Cosmic Ray Conf. 1985. V. 2. P. 52—55. [3] Israel M. N. et al.//Proc. 16th Intern. Cosmic Ray Conf. 1979. V. 1. P. 323—328. [4] Iwata S.//DPNU-3-79, preprint Nagoya University. Nagoya, Japan, 1979. [5] Caldwell J. H.//Astrophys. J. 1977. 218. P. 269—285. [6] Chappel I.H., Webber W. R.//Proc. 17th Intern. Cosmic Ray Conf. 1981. V. 2. P. 59—62. [7] Simon M. et al.//Astrophys. J. 1980. 239. P. 712—724.

Поступила в редакцию
05.02.86

ВЕСТН. МОСК. УН-ТА. СЕР. 3, ФИЗИКА. АСТРОНОМИЯ. 1986. Т. 27, № 6

РАДИОФИЗИКА

УДК 621.373.51

СВЧ ГЕНЕРАТОР НА ДИОДЕ ГАННА, СТАБИЛИЗИРОВАННЫЙ ДИСКОВЫМ ДИЭЛЕКТРИЧЕСКИМ РЕЗОНАТОРОМ

И. И. Минакова, В. И. Панов, Б. Г. Симеонова (Болгария)

(кафедра физики колебаний)

Создание прецизионных СВЧ генераторов малой и средней мощности представляет собой актуальную задачу как научного, так и практического плана. Основным элементом, определяющим стабильность частоты автоколебаний при оптимальных параметрах схемы стабилизирующего генератора, является стабилизирующий резонатор.

Наилучшие результаты по стабильности и воспроизводимости частоты получены при использовании сверхпроводящих резонаторов с сапфировым наполнением при охлаждении до $T \approx 2$ К [1]. Добротности, реализованные на дисковых и кольцевых диэлектрических резонаторах (ДР) из сапфира $Q = 2,5 \cdot 10^5$ при 300 К и $Q = 10^8$ при $T = 77$ К для 8–10 ГГц, свидетельствуют о перспективности использования таких резонаторов в качестве стабилизирующих элементов генераторов.

Первые работы по созданию генераторов, стабилизированных ДР [2, 3], дали обнадеживающие результаты. Целью настоящей работы является детальное исследование процессов в генераторе СВЧ, стабилизированном по трехконтурной схеме [4, 5] с помощью многомодового ДР.

В предположении слабой связи между высокочастотными модами дискового резонатора эквивалентную схему генератора можно представить в виде, показанном на рис. 1, а.

При рассмотрении одночастотных автоколебаний движение в такой системе описывается уравнениями

$$\ddot{x}_1 + 2\delta_1(x_1)x_1 + \nu_1^2 x_1 + \alpha_{12}\ddot{x}_2 = 0,$$

$$\ddot{x}_2 + 2\delta_2\dot{x}_2 + \nu_2^2 x_2 + \alpha_{21}\ddot{x}_1 + \sum_{i=1}^n \alpha_{2i}\ddot{x}_{3i} = 0,$$

$$\ddot{x}_3 + 2\delta_3\dot{x}_{3i} + \nu_{3i}^2 x_{3i} + \alpha_{i2}\ddot{x}_2 = 0, \quad i = 1 \dots n,$$

где введены следующие эквивалентные сосредоточенные параметры: δ_2, δ_{3i} — эквивалентные коэффициенты затухания резонатора генератора и мод стабилизирующего ДР, $\delta_1(x_1)$ — нелинейное затухание активного элемента, ν_1, ν_2 — парциальные частоты резонатора генератора и промежуточного резонатора (ПР), ν_{3i} — парциальные частоты мод стабилизирующего резонатора.

Если расстройка между модами $\nu_{3k} - \nu_{3k \pm 1}$ больше полосы пропускания Δf_2 ПР или если Q_{3k} и $Q_{3k \pm 1}$ отличаются друг от друга больше чем на порядок, то можно ограничиться для каждой k -й моды резонатора рассмотрением обычной трехконтурной схемы. В таком приближении система (1) распадается на n независимых трехконтурных систем.

В этом случае в одночастотном режиме движения в системе имеет вид

$$x_1 = a \sin \omega t; \quad x_2 = b \sin(\omega t - \varphi); \quad x_3 = c \sin(\omega t - \psi).$$

Уравнения генерируемых частот стационарных колебаний могут быть представлены так:

$$f_1 = f \left(1 - k_1^2 \frac{M}{M^2 + N^2} \right)^{1/2}, \quad \text{где } M = \frac{f^2 - f_2^2}{f^2} - k_2^2 \frac{f^2 (f^2 - f_3^2)}{(f^2 - f_3^2)^2 + f^4 \delta_3^2};$$

$$N = \delta_2 + \frac{k_2^2 f^4 \delta_3}{(f^2 - f_3^2)^2 + f^4 \delta_3^2}; \quad f = \frac{\omega}{2\pi}; \quad k_1^2 = \alpha_{12} \alpha_{21}; \quad k_2^2 = \alpha_{23} \alpha_{32}.$$

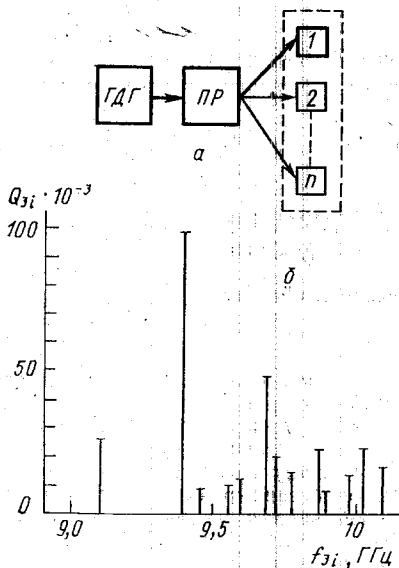


Рис. 1. а — Блок-схема стабилизации частоты СВЧ генератора на диоде Ганна (ГДГ) с помощью дискового ДР. б — Спектр и добротности мод колебаний дискового ДР

Соответствующие амплитуды при кубической характеристике нелинейного активного элемента в резонаторе генератора (а), в промежуточном (б) и стабилизирующем (с) резонаторе определяются из выражений

$$a^2 = \frac{4}{\delta_1} \left(-\delta_0 - k_1^2 \frac{M}{M^2 + N^2} \right); \quad b^2 = a^2 \frac{\alpha_{12}^2}{\alpha_{21}^2} \frac{k_1^2}{M^2 + N^2}; \quad c^2 = b^2 \frac{\alpha_{23}^2}{\alpha_{32}^2} \frac{k_2^2 f^4}{(f^2 - f_3^2)^2 + f^4 \delta_3^2}.$$

Однако при этом для достаточно широкого диапазона перестройки парциальной частоты ν_1 контура генератора в системе возможен переход из области стабилизации на k -й моде к области стабилизации на другой, $(k \pm 1)$ -й моде колебаний в ДР.

Диэлектрический резонатор, использованный в работе, изготовлен из монокристалла лейкосапфира с $\epsilon = 8,5$. Размеры диска $D = 98$ мм и $H = 9$ мм выбирались такие, чтобы в нем возбуждались моды типа EH_{in} . Дисковые ДР, как правило, обладают большим числом слабо связанных между собой мод с различными добротностями. Для стабилизации использовался ДР, спектр частот и соответствующих добротностей которого приведен на рис. 1, б. Из рис. 1, б видно, что моды существенно

разнесены по частотам $\frac{\nu_i - \nu_{i+k}}{(\nu_i + \nu_{i+k})/2} \gg \frac{1}{Q_{i,k}}$, а в приближении слабой связи между модами можно рассматривать колебания по каждой из мод независимыми.

Экспериментальное исследование амплитудных и частотных характеристик системы стабилизации частоты с дисковым ДР проводилось для генератора с диодом Ганна. Установка позволяла варьировать следующие параметры системы: ν_1 , ν_2 , Q_i , k_1 и k_2 . Частоту ν_1 генератора можно было изменять от 8,5 до 10,5 ГГц путем перемещения поршня в резонаторе генератора. Генератор реактивно связан с ПР. Связь k_1 регулировалась двумя подстроечными винтами. В качестве ПР применялась раздвижная коаксиально-волноводная линия, которая заканчивалась открытой частью

волновода, частично заполненного сапфиром. Добротность ПР на парциальной частоте $\nu_2 \rightarrow Q_2 \approx 100$.

Связь k_2 регулировалась за счет изменения расстояния между излучающим концом волновода и стабилизирующим резонатором. Частота ν_2 ПР изменялась путем перестройки длины коаксиально-волноводной линии.

В стационарном режиме одночастотные движения в системе зависят от большого числа параметров. Выбирая фиксированные значения всех параметров системы, кроме одного, можно проследить изменение ее состояния.

С точки зрения оптимальной стабилизации частоты наиболее существенна зависимость автоколебаний от парциальной частоты генераторного резонатора. В настоящей работе такая зависимость была получена при $k_2 > k_{2\text{кр}}$, $k_1 > k_{1\text{кр}}$ и фиксирован-

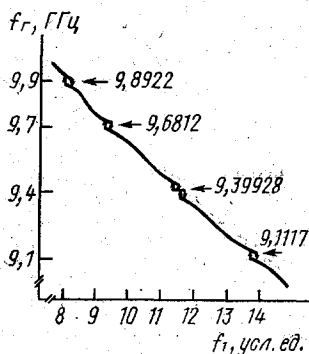


Рис. 2. Экспериментальная зависимость частоты автоколебаний ГДГ с дисковым ДР от перестройки частоты резонатора генератора

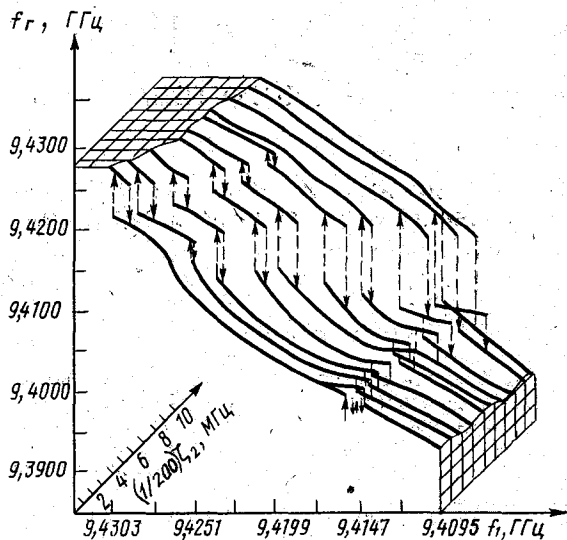


Рис. 3. Зависимости частот генерации от настройки ПР вблизи двух мод дискового ДР ($Q_1 = 10^5$, $Q_2 = 10^3$)

ных f_2 и f_3 . При этом в диапазон перестройки f_1 попадало не менее четырех мод дискового ДР (рис. 2). На рис. 2 приведен случай, когда $f_2 = f_{32}$ (f_{32} — частота наиболее добротной моды ДР).

Поскольку добротность Q_{3i} отдельных мод весьма различна, то на нескольких модах наблюдаются частотные кривые типа двухконтурного затягивания, а на самой добротной моде — типа трехконтурного. Из сопоставления рис. 2 и 3 следует, однако, что существенны не только соотношения добротностей мод, но и расстройки $\zeta_{3i} = (\nu_{3i} - \nu_{3i})/\nu_{3i}$ каждой из мод дискового ДР относительно частоты ПР.

В настоящей работе также приведены исследования зависимости частоты автоколебаний системы от перестройки частоты генератора при фиксированных значениях связи k_1 и k_2 и разных расстройках ζ_2 .

На рис. 3 приведены результаты измерения частотных кривых вблизи двух мод дискового ДР с частотами 9,40 и 9,42 ГГц и с сильно различающимися добротностями $Q_k = 99 \cdot 10^3$ и $Q_{k+1} = 10^3$. Частотное расстояние между этими модами было сравнимо с полосой пропускания ПР. На графике прослеживается эволюция перехода системы из одного режима с большим коэффициентом стабилизации S_1 к другому (с меньшим S_2) для каждой из этих мод ДР в зависимости от перестройки ζ_2 . Вместе с тем отчетливо видно, что при $\Delta\nu_2 \approx \nu_{3k} - \nu_{3k+1}$ наличие двух мод сказывается на характере частотных кривых, и представление системы в виде трехконтурной возможно только при условии, если одна из мод выходит за границы полосы пропускания ПР Δf_2 .

СПИСОК ЛИТЕРАТУРЫ

- [1] Минакова И. И., Назаров В. И., Панов В. И. Деп. ВИНТИ № 1805—82. М., 1982. [2] Панов В. И., Станков П. Р. // Радиотехн. и электроника. 1986. 31, № 1. С. 213—216. [3] Абрамов А. А., Царапкин Д. П. // Стабилизация частоты и прецизионная радиотехника (ВИМИ). М., 1983. Ч. 1. С. 28—32. [4] Зубиетов П. И., Минакова И. И., Минина Г. П., Панов В. И. // Изв. вузов, сер. Радиотехника. 1981. 24, № 7. С. 29—33. [5] Лебединский С. А., Минакова И. И., Назаров В. И. // Радиотехн. и электроника. 1985. 3, № 1. С. 94—101.

Поступила в редакцию
17.03.86

ВЕСТН. МОСК. УН-ТА. СЕР. 3, ФИЗИКА. АСТРОНОМИЯ. 1986. Т. 27, № 6

ФИЗИКА ТВЕРДОГО ТЕЛА

УДК 539.26:548.53

УЧЕТ ИСКАЖЕНИЙ КРИСТАЛЛИЧЕСКОЙ СТРУКТУРЫ ВБЛИЗИ ПОВЕРХНОСТИ В ТЕОРИИ СКОЛЬЗЯЩЕЙ РЕНТГЕНОВСКОЙ ДИФРАКЦИИ

М. А. Андреева

(кафедра физики твердого тела)

Дифракция в скользящей геометрии — новый метод исследования нарушений в тонких поверхностных слоях кристаллов [1]. Теория скользящей дифракции развита только для простейших случаев идеального кристалла и идеального кристалла с аморфной или кристаллической пленкой. Развита в настоящей работе теория позволяет рассматривать произвольные профили изменения параметров среды вблизи поверхности.

В [2] получена система линейных дифференциальных уравнений для тангенциальных компонент электрического и магнитного полей Блоховских волн, являющаяся обобщением уравнений Такаги на случай дифракции в условиях полного отражения:

$$\frac{d}{dz} \begin{pmatrix} \mathbf{H}_{1t} \\ [qE_1] \\ \mathbf{H}_{2t} \\ [qE_2] \end{pmatrix} = ik \begin{pmatrix} -n_1 l & (1+\chi_0)l - \mathbf{b}_1 \cdot \mathbf{b}_1 & 0 & \chi_h^l \\ l - \mathbf{a}_1 \cdot \mathbf{a}_1 (1-\chi_0) & -n_1 l & \chi_h^l \mathbf{a}_1 \cdot \mathbf{a}_2 & 0 \\ 0 & \chi_h l & -n_2 l & (1+\chi_0)l - \mathbf{b}_2 \cdot \mathbf{b}_2 \\ \chi_h \mathbf{a}_2 \cdot \mathbf{a}_1 & 0 & l - \mathbf{a}_2 \cdot \mathbf{a}_2 (1-\chi_0) & -n_2 l \end{pmatrix} \times \begin{pmatrix} \mathbf{H}_{1t} \\ [qE_1] \\ \mathbf{H}_{2t} \\ [qE_2] \end{pmatrix} \quad (1)$$

где \mathbf{q} — единичный вектор нормали к поверхности (оси z), $\mathbf{H}_{it} = l\mathbf{H}$, $l = 1 - \mathbf{q} \cdot \mathbf{q}$; индексы 1, 2 относятся к проходящей и дифрагированной волнам соответственно; $\chi_{0,h}$ — фурье-компоненты восприимчивости; $\mathbf{b}_{1,2}$ — тангенциальные компоненты волновых векторов (в единицах ω/c); $\mathbf{a}_i = [\mathbf{b}_i, \mathbf{q}]$; $n_1 = \sin \theta_1$, θ_1 — угол скольжения падающей волны, $n_2 = \sin \theta_1 + (\boldsymbol{\tau} \cdot \mathbf{q})$, $\boldsymbol{\tau}$ — вектор обратной решетки (в единицах ω/c). Точка между векторами в (1) обозначает их внешнее произведение (диад).

Система из восьми дифференциальных уравнений (1) описывает как взаимодействие проходящей и дифрагированной волн, так и преобразование поляризации. Разделение собственных поляризаций в (1) возможно непосредственно, только когда падающая, зеркально отраженная и дифрагированные волны лежат в одной плоскости. При дифракции в скользящей геометрии собственные поляризации граничной и дифракционной задач не совпадают; однако эффект «защелкивания» ортогональной поляризации мал [3], поэтому для случая скользящей дифракции имеет смысл «расцепить» в системе (1) π - и σ -поляризации приближенно. Пренебрегая для собственных векторов \mathbf{H}_{it} и $[qE_i]$ проекциями \mathbf{b}_i в случае σ -поляризации (а в случае π -поляри-